



ОБЪЕДИНЕННЫЙ
ИНСТИТУТ
ЯДЕРНЫХ
ИССЛЕДОВАНИЙ
ДУБНА

СЗ46.Ч6

Г-63

24/XII-7

P14 - 7359

4635/2-73

В.И.Гольданский, Н.Н.Зацепина, В.И.Петрухин,
В.Е.Рисин, В.М.Суворов, И.Ф.Тупицын,
Н.И.Холодов, И.А.Ютландов

ИЗУЧЕНИЕ ВНУТРИМОЛЕКУЛЯРНЫХ ЭЛЕКТРОННЫХ
ЭФФЕКТОВ В ОРГАНИЧЕСКИХ СОЕДИНЕНИЯХ
С ПОМОШЬЮ ЗАХВАТА π^- -МЕЗОНОВ ВОДОРОДОМ

1973

ЛАБОРАТОРИЯ ЯДЕРНЫХ ПРОБЛЕМ

P14 - 7359

В.И.Гольданский,¹ Н.Н.Зацепина,² В.И.Петрухин,
В.Е.Рисин,³ В.М.Суворов, И.Ф.Тупицын,²
Н.И.Холодов,¹ И.А.Ютландов

ИЗУЧЕНИЕ ВНУТРИМОЛЕКУЛЯРНЫХ ЭЛЕКТРОННЫХ
ЭФФЕКТОВ В ОРГАНИЧЕСКИХ СОЕДИНЕНИЯХ
С ПОМОЩЬЮ ЗАХВАТА π -МЕЗОНОВ ВОДОРОДОМ

Направлено в ДАН СССР

Союзакадемический институт
ядерных исследований
БИБЛИОТЕКА

¹ ИХФ АН СССР,

² ГИПХ МХП СССР,

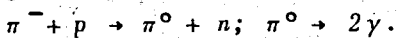
³ Воронежский государственный университет

Summary

The probabilities W , of the π^- -meson capture by the fragments of $Z_m H_n Z'_k H'_n$ molecules of different classes with hydrogeneous substituent group are measured. Technique of W determination is based on the use of ordinary and selectively deuterated compounds. It is found that the coefficints a_{H-Z} in the frame and functional groups differ strongly due to the mutual influence of fragments. In the row of CH_3X and C_6H_5X substitution derivates the correlation treatment of $a_{H-C}^{CH_3}$ and $a_{H-C}^{C_6H_5}$ is performed with the help of the Hammet-Taft type equations. The presence of the linear correlations with the induction σ_i -constants of substitutes and their absence when comparing the a_{H-C} coefficients with other sets of σ -constants proves the dominant role of the induction effect.

Ранее при переходе от углеводородов алифатического и ароматического рядов к их галоидным и нитропроизводным наблюдалось уменьшение вероятности захвата π^- -мезонов водородом $C-H$ связей [1]. Это уменьшение обусловлено отрицательным индукционным эффектом, приводящим к смещению облака валентных электронов от водорода к углероду внутри связи $C-H$ под действием более электроотрицательных заместителей. Однако в этих опытах заместители не содержали водорода и, следовательно, их обогащение электронами не могло экспериментально наблюдаваться нашим методом.

В настоящей работе предпринята попытка измерения вероятностей захвата π^- -мезонов водородом функциональных и оставных групп в алифатических и ароматических спиртах, аминах, эфирах, кислотах, кетонах и других веществах с использованием обычных $Z_m H_n Z'_k H'_n$ и частично дейтерированных соединений $Z_m H_n Z'_k D_n$. Такая методика измерения основана на подавлении в $10^3 - 10^5$ раз для дейтерия [2, 3] и других более сложных ядер характерной для легкого изотопа водорода реакции перезарядки π^- -мезонов:



Выбор в качестве заместителей водород/дейтерий/содержащих функциональных групп позволяет проследить за распределением мезонов, а, следовательно, и плотностью валентных электронов связей $H-Z$ одновременно и в оставных, и в функциональных группах.

Реактивы, использованные в эксперименте, имели квалификацию "ХЧ" или "ЧДА", содержание дейтерия

в функциональных группах контролировалось с точностью до 0,1% методами масс-спектрометрии и ИК-спектроскопии и составляло обычно 92-99% при практическом полном отсутствии дейтерия в остаточной группе.

Эксперимент выполнен на пучке π^- -мезонов синхротрона ЛЯП ОИЯИ. Схема установки и методика измерения описаны ранее /4/. На опыте измерялись вероятности захвата пионов водородом в обычном соединении и частично дейтерированном. По разности эффектов от этих мишней находилась вероятность захвата водородом функциональной группы. Из этих вероятностей с помощью формулы /5/

$$W_{Z_m H_n Z'_k H'_n} = \frac{a_{H-Z}^{-2} + a_{H-Z'}^{-2} (Z')^{-2}}{n+mZ+n'+kZ'} \quad /1/$$

вычислялись коэффициенты a_{H-Z} и $a_{H-Z'}$ фрагментов $Z_m H_n$ и $Z'_k H'_n$ /таблица 1/.

Из таблицы 1 видно, что определяемые из опыта коэффициенты a_{H-O} , a_{H-N} , a_{H-C} соответствующих связей в функциональных и остаточных группах в 1,5 - 3,5 раза отличаются в ту или другую сторону от значений a , вычисленных по вероятностям захвата π^- -мезонов водородом в гидридах: $H_2 O$, $N_2 H_4$, $C_n H_{2n+2}$, $C_6 H_6$. При этом в алифатических и ароматических спиртах и аминах имеет место значительное увеличение коэффициентов a_{H-O} и a_{H-N} по сравнению с a для воды и гидразина. Следует отметить, что увеличение захвата пионов водородом функциональных групп сопровождается уменьшением вероятности захвата пионов водородом остаточных групп.

Для количественной характеристики электронных эффектов, обнаруживаемых с помощью мезохимического метода, была проведена корреляционная обработка данных по коэффициентам a_{H-C} метильных и фенильных групп /таблица 2/ с помощью соотношений типа Гамметта-Тафта. При этом использовались коэффициенты a_{H-C} как для измеренных в настоящей работе соединений /табл. 1 и 3/, так и данные работы /1/. Наличие линейной зави-

симости /рис. 1 и 2/ коэффициентами a_{H-C} и индукционными σ_I постоянными в рядах замещенных метанов и бензолов $/CH_3 X$ и $C_6 H_5 X/$:

$$a_{H-C}^{CH_3} = [1,93 \pm 0,03] - [2,26 \pm 0,07] \cdot \sigma_I, \quad /2/$$

$$a_{H-C}^{C_6 H_5} = [0,83 \pm 0,03] - [0,68 \pm 0,09] \cdot \sigma_I, \quad /3/$$

и ее отсутствие при использовании наборов σ -постоянных, учитывающих резонансное влияние заместителей X , свидетельствует о доминирующей роли индукционного влияния в подавлении вероятности ядерного захвата пионов водородом в молекулах.

Как видно из рис. 1, от корреляционной прямой резко отклоняется точка, отвечающая тетраметиламмонийиду. Аналогичная аномалия наблюдается и в поведении некоторых спектроскопических характеристик названного

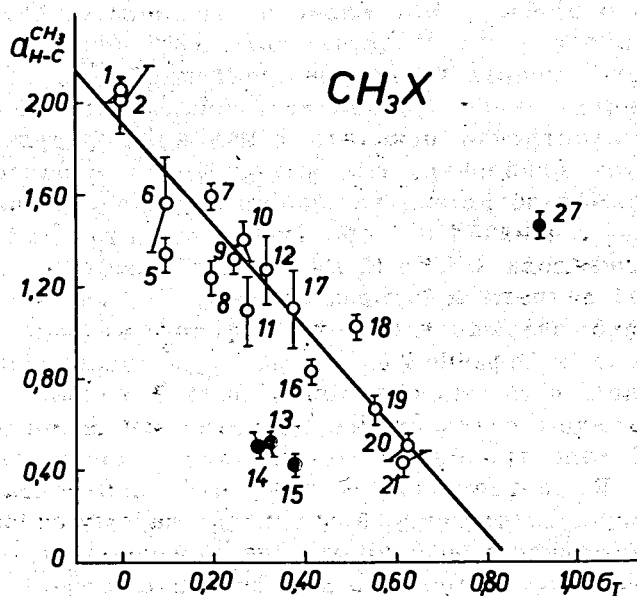


Рис. 1. Корреляция коэффициентов $a_{H-C}^{CH_3}$ метильных групп с индукционными постоянными σ_I в замещенных метанах. /Нумерация точек по табл. 2/.

и других "ониевых" соединений типа $[CH_3]_4M^+X^-$. Согласно ^{9, 10}, вероятное объяснение аномалии состоит в компенсации положительного заряда центрального атома M^+ зарядом внешнесферного аниона X^- , вследствие чего индукционный эффект $N^+(CH_3)_3$ -группы уменьшается до значения, почти совпадающего с таковым для "нейтрального" $(CH_3)_2N$ -заместителя. Причины выпадания из установленных зависимостей ² и ³ точек №№13-15 не ясны. Но судя по тому, что точка №15 и "нормальные" точки охватываются единой зависимостью

$$[a_{H-C}^{CH_3} - a_{H-C}^{C_6H_5}] = [1,02 \pm 0,06] - [1,81 \pm 0,15] \cdot \sigma_I, \quad /4/$$

использующей в качестве переменной разность коэффициентов a_{H-C} для CH_3 и C_6H_5 -групп, можно предположить, что наблюдаемые отклонения не связаны с индукционными взаимодействиями.

В приведенных выше данных не учитывалось влияние изотопного эффекта. Как видно из таблицы 4, где приведены вероятности захвата для дейтерозамещенного метилового спирта и частично дейтерированных бензолов, величина этого эффекта не превышает 15-30% и не может существенно исказить полученные результаты.

Следует оговорить, что установленное в настоящей работе преобладание индукционного эффекта в механизме электронных влияний на вероятность захвата π -мезонов ядрами водорода CH_3 и C_6H_5 -групп может не иметь места для захвата водородом OH и NH_2 -групп. Действительно, наблюдаемое в анилине и феноле относительное уменьшение коэффициентов a_{H-N} и a_{H-O} по сравнению с метиамином и метанолом может быть связано с некоторым вкладом резонансного эффекта, вызванного смещением p -электронов по механизму $p\pi$ -сопряжения с кольцом. В соответствии с тем, что электроноакцепторные заместители способны лишь к слабому резонансному взаимодействию с ароматическим кольцом, отсутствует заметное изменение коэффициента $a_{H-C}^{CH_3COO}$ в ацетофеноле по сравнению с ацетоном.

В заключение заметим, что измеренный на примерах пар соединений CH_3COOD и CH_3COOH , CH_3COOC_3 и

CH_3COOCH_3 коэффициент $a_{H-C}^{CH_3COO} = 0,51 \pm 0,05$ в пределах ошибок измерений совпадает со средним значением, которое можно вычислить по данным ¹¹. Последнее обстоятельство подтверждает вывод ¹² об отсутствии эффекта тождественных групп ¹¹ в диацетатах металлов.

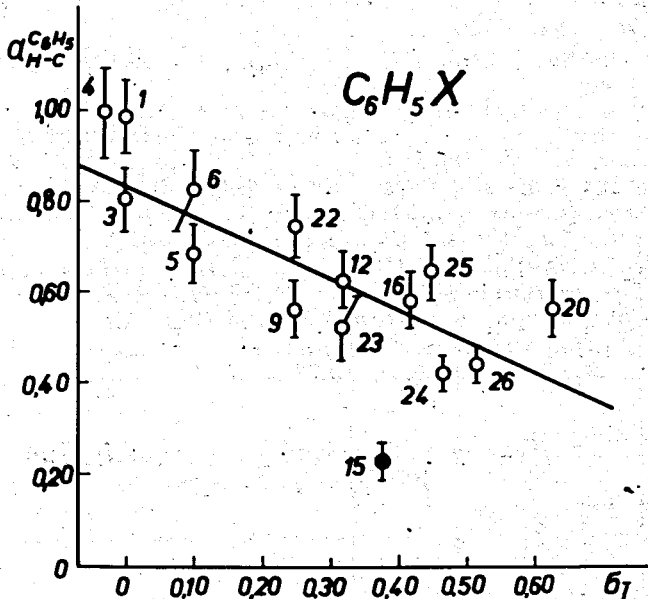


Рис. 2. Корреляция коэффициентов $a_{H-C}^{C_6H_5}$ фенильных групп с индукционными постоянными σ_I в замещенных бензолах. /Нумерация точек по табл. 2/.

Литература

1. Вильгельмова, П.Зимрот, В.И.Петрухин, В.Е.Рисин, Л.М.Смирнова, В.М.Суворов, И.А.Ютландов. Препринт ОИЯИ, Р1-6854, Дубна, 1972.
2. W.Chinowsky, J.Steinberger. Phys.Rev., 95, 1561 (1951).
3. V.I.Petruhin, Yu.D.Prokoshkin. Nucl.Phys., 54, 414 (1964).
4. В.И.Петрухин, Ю.Д.Прокошкин, А.И.Филиппов. ЯФ, 5, 327 /1967/.
5. В.И.Петрухин. Труды ІУ Международной конференции по физике высоких энергий и структуре ядра. Дубна, сентябрь 1971. Изд. ОИЯИ, Д1-6349, Дубна, 1972.
6. С.С.Герштейн, В.И.Петрухин, Л.И.Пономарев, Ю.Д.Прокошкин. УФН, 97, 3 /1969/; Л.И.Пономарев, ЯФ, 2, 223 /1965/; ЯФ, 6, 388 /1967/.
7. Ю.А.Жданов, В.И.Минкин. Корреляционный анализ в органической химии. Изд. Ростовского университета, 1966.
8. К.Д.Риче, У.Ф.Сэджер. В сб. "Современные проблемы физической органической химии". Изд. "Мир", М., стр. 498, 1967.
9. А.Ц.Зацепина, И.Ф.Тупицын, А.В.Кирова, А.И.Беляшова. Реакционная способность органических соединений, 8, 787 /1971/.
10. C.Schimenz. Angew.Chem. Intern.Ed., 7, 544 (1968); G.Frankal. J.Chem.Phys., 39, 1614 (1963); G.Aksens, J.Songstad. Acta Chem.Scand., 18, 655 (1968).
11. З.В.Крумштейн, В.И.Петрухин, Л.И.Пономарев, Ю.Д.Прокошкин. ЖЭТФ, 55, 1640 /1968/.
12. З.В.Крумштейн, В.И.Петрухин, В.Е.Рисин, Л.М.Смирнова, В.М.Суворов, И.А.Ютландов. Препринт ОИЯИ, Р1-6853, Дубна, 1972.

Рукопись поступила в издательский отдел
25 июля 1973 года.

Таблица I

Соединение	$W \cdot 10^3$	Функциональная группа X	$\alpha_{H_2}^X$ эксперим.	Функциональной группы X	Остовая группа R	$\alpha_{H_2}^R$ эксперим.	Функциональной группы R
CH_3OH $\text{C}_2\text{H}_5\text{OD}$	$2,35 \pm 0,30$ $6,11 \pm 0,30$	OH	$2,58 \pm 0,48$	$I,12 \pm 0,20$	CH_3	$I,32 \pm 0,06$	$2,05 \pm 0,04$
$\text{C}_2\text{H}_5\text{OH}$ $\text{C}_2\text{H}_5\text{OD}$	$2,90 \pm 0,30$ $7,55 \pm 0,24$	OH	$3,88 \pm 0,63$	$I,12 \pm 0,30$	C_2H_5	$I,44 \pm 0,04$	$2,05 \pm 0,04$
$\text{C}_3\text{H}_7\text{OH}$ $\text{C}_3\text{H}_7\text{OD}$	$9,61 \pm 0,32$ $8,46 \pm 0,43$	OH	$2,50 \pm 1,20$	$I,12 \pm 0,20$	C_3H_7	$I,47 \pm 0,08$	$2,05 \pm 0,04$
CH_3NH_2 CH_3ND_2	$13,20 \pm 0,36$ $6,20 \pm 0,34$	NH_2	$3,11 \pm 0,22$	$I,30 \pm 0,15$	CH_3	$2,34 \pm 0,07$	$2,05 \pm 0,04$
$\text{C}_6\text{H}_5\text{OH}$ $\text{C}_6\text{H}_5\text{OD}$	$1,95 \pm 0,13$	OH	$0,98 \pm 0,65$	$I,12 \pm 0,2$	C_6H_5	$0,56 \pm 0,05$	$0,98 \pm 0,06$
$\text{C}_6\text{H}_5\text{NH}_2$ $\text{C}_6\text{H}_5\text{ND}_2$	$3,66 \pm 0,15$ $1,88 \pm 0,17$	NH_2	$2,18 \pm 0,29$	$I,30 \pm 0,15$	C_6H_5	$0,68 \pm 0,06$	$0,98 \pm 0,06$
$\text{C}_6\text{H}_5\text{CH}_3$ $\text{C}_6\text{H}_5\text{C}_2\text{H}_5$	$5,35 \pm 0,20$ $2,75 \pm 0,22$	CH_3	$1,56 \pm 0,21$		C_6H_5	$0,19 \pm 0,10$	$0,98 \pm 0,06$
$\text{C}_6\text{H}_5\text{OCH}_3$ $\text{C}_6\text{H}_5\text{OC}_2\text{H}_5$	$3,34 \pm 0,17$ $1,76 \pm 0,17$	OCH_3	$I,10 \pm 0,17$		C_6H_5	$0,74 \pm 0,07$	$0,98 \pm 0,06$
$\text{C}_6\text{H}_5\text{COCH}_3$ $\text{C}_6\text{H}_5\text{COCD}_3$	$2,77 \pm 0,16$ $1,35 \pm 0,12$	COCH_3	$I,09 \pm 0,15$		C_6H_5	$0,62 \pm 0,055$	$0,98 \pm 0,06$
CH_3COOH CH_3COOD	$1,92 \pm 0,11$ $1,32 \pm 0,14$	COOH	$I,23 \pm 0,37$	$I,12 \pm 0,20$	CH_3	$0,51 \pm 0,05$	$2,05 \pm 0,04$
$\text{CH}_3\text{COOCH}_3$ $\text{CH}_3\text{COOC}_2\text{H}_5$	$4,00 \pm 0,17$ $1,06 \pm 0,09$	COOCH_3	$I,40 \pm 0,09$		CH_3	$0,52 \pm 0,042$	$2,05 \pm 0,04$

Таблица 2

NN	Заместитель	$\alpha_{H-C}^{CH_3}$	$\alpha_{H-C}^{C_6H_5}$	σ_I^*
I.	H	$2,05 \pm 0,04$ ¹¹¹	$0,98 \pm 0,08$ ¹¹¹	0
2.	$(CH_3)_3Sn$	$2,02 \pm 0,15$	-	0
3.	$(C_6H_5)_3Sn$	-	$0,30 \pm 0,07$	0
4.	CH_3	-	$0,99 \pm 0,10$	$-0,03$
5.	NH_2	$1,30 \pm 0,15$	$0,68 \pm 0,6$	$0,10$
6.	C_6H_5	$1,56 \pm 0,21$	$0,82 \pm 0,09$ ¹²¹	$0,10$
7.	C_2H_5S	$1,59 \pm 0,06$	-	$0,20$
8.	CH_3S	$1,24 \pm 0,08$ ¹¹¹	-	$0,20$
9.	OH	$1,32 \pm 0,06$	$0,56 \pm 0,06$	$0,25$
10.	CH_3COO	$1,40 \pm 0,09$	-	$0,27$
II.	C_6H_5CO	$1,09 \pm 0,15$	-	$0,28$
I2.	$COCH_3$	$1,27 \pm 0,15$ ¹⁵¹	$0,62 \pm 0,06$	$0,32$
I3.	CH_3COOC	$0,52 \pm 0,05$	-	$0,30$
I4.	HOOC	$0,51 \pm 0,05$	-	$0,30$
I5.	$COCl$	$0,42 \pm 0,04$ ¹¹¹	$0,23 \pm 0,04$ ¹¹¹	$0,36$
I6.	J	$0,33 \pm 0,05$ ¹¹¹	$0,56 \pm 0,06$ ¹¹¹	$0,42$
I7.	C_6H_5O	$1,10 \pm 0,17$	-	$0,38$
I8.	$SOCH_3$	$1,02 \pm 0,05$	-	$0,52$
I9.	CN	$0,66 \pm 0,06$ ¹¹¹	-	$0,56$
20.	N_2O_2	$0,50 \pm 0,05$ ¹¹¹	$0,56 \pm 0,06$ ¹²¹	$0,63$
21.	OSO_2OCH_3	$0,43 \pm 0,06$	-	$0,62$
22.	OCH ₃	-	$0,74 \pm 0,07$	$0,25$
23.	$N=N C_6H_5$	-	$0,52 \pm 0,07$ ¹¹¹	$0,32$
24.	Cl	-	$0,42 \pm 0,04$ ¹¹¹	$0,47$
25.	Bz	-	$0,64 \pm 0,06$ ¹¹¹	$0,45$
26.	F	-	$0,44 \pm 0,04$ ¹¹¹	$0,52$
27.	$(CH_3)_3N^+$	$1,47 \pm 0,05$	-	$0,92$

*Индукционные постоянные полярных заместителей взяты из /6-8/

Таблица 3

Соединение	W эксп., 10^{-3}	α_{H-C}
$[CH_3]_4Sn$	$7,85 \pm 0,57$	$2,02 \pm 0,15$
$[C_6H_5]_4Sn$	$2,06 \pm 0,18$	$0,80 \pm 0,07$
$[C_5H_5]_2Fe$	$1,96 \pm 0,14$	$0,69 \pm 0,05$
$[C_6H_6]_2Cr$	$2,59 \pm 0,15$	$0,84 \pm 0,04$
$[CH_3]_4NJ$	$4,95 \pm 0,17$	$1,43 \pm 0,05$
$[CH_3]_2S^+O^-$	$1,08 \pm 0,16$	$0,43 \pm 0,06$
$[CH_3]_2SO$	$4,00 \pm 0,22$	$1,02 \pm 0,06$
$[CH_3]_2S_2$	$3,20 \pm 0,18$	$0,96 \pm 0,05$
$[C_2H_5]_2S$	$8,80 \pm 0,34$	$1,59 \pm 0,06$

Таблица 4

Соединение	$W_{\text{эксп.}}, 10^{-3}$	$W^* = \frac{W_{\text{эксп.}} \cdot 100}{100 - \epsilon}$	ϵ
$\text{C}_2\text{D}_3\text{OH}$	$1,14 \pm 0,68$	-	-
CH_3OD	$6,11 \pm 0,30$	-	-
$\text{C}_2\text{D}_3\text{OH} + \text{CH}_3\text{OD}$	-	$7,25 \pm 0,74^1)$	$0,87 \pm 0,09$
CH_3OH	$8,35 \pm 0,30$	-	-
$\text{C}_6\text{H}_x\text{D}_{6-x} [52,5 \text{ат. \% D}]$	$1,26 \pm 0,07$	$2,66 \pm 0,14$	$0,68 \pm 0,06$
$0,58\text{C}_6\text{H}_6 + 0,42\text{C}_6\text{D}_6$	$1,65 \pm 0,13$	$2,82 \pm 0,22$	$0,72 \pm 0,08$
C_6H_6	$3,90 \pm 0,80$	-	-

1) Получено сложением $W_{\text{эксп.}}$ для $\text{C}_2\text{D}_3\text{OH}$ и CH_3OD

2) Подавление ϵ является отношением вероятности W^* к вероятности захвата в недеятерированной молекуле.